



بیستمین کنفرانس اپتیک و فوتونیک ایران  
و ششمین کنفرانس مهندسی و فناوری فوتونیک ایران  
۸ تا ۱۰ بهمن ماه ۱۳۹۲ - دانشگاه صنعتی شیراز



## روشی جهت تعیین غلظت کروم در بهینه انتقال انرژی از کروم به نئودیمیوم در بلور لیزری Nd,Cr:GSGG

مژده جان فدا<sup>۱</sup>، بهنام عباسی<sup>۲</sup> و سید نورالدین نعمت اله زاده<sup>۲</sup>

<sup>۱</sup> دانشگاه شیراز، دانشکده علوم، بخش فیزیک

<sup>۲</sup> صنایع الکترونیک شیراز

چکیده - در این مقاله به طور تئوری به بررسی تاثیر میزان غلظت آلاینده کروم در یک نوع لیزر گارنت به نام  $Cr,Nd:GSGG$  که دارای دو نوع آلاینده کروم و نئودیمیوم می باشد، پرداخته شده است. در این کار از مدل های موجود برای بدست آوردن نمودار فروافت لومینسان یون کروم در بدست آوردن طول عمر این یون در ماده میزبان خاص و در حضور تبادل انرژی با یون های آلاینده نوع دوم (یون پذیرنده) استفاده شده است و از این طریق نرخ تبادل انرژی میان یون های کروم و نئودیمیوم بدست آمده است. با داشتن نرخ انتقال انرژی می توان تعداد یون های پذیرنده (که مسئول لیزینگ هستند) در تراز برانگیخته انرژی و نیز بازدهی انتقال انرژی از یون بخشنده انرژی به یون پذیرنده انرژی را با استفاده از روابط ذکر شده بدست آورد.

کلیدواژه-نئودیمیوم، بازدهی، گادولیموم اسکاندیوم گالیوم گارنت، گارنت، لیزر حالت جامد.

## A Method for Determining the Chromium Concentration in Optimized Energy Transfer from Chromium to Neodymium in Cr,Nd:GSGG Laser Crystal

Mozhde Janfada<sup>1</sup>, Behnam Abbasi<sup>2</sup>, and Seyed Nooradin Nematollah Zade<sup>2</sup>

<sup>1</sup> Physics department, college of Science, Shiraz University

<sup>2</sup> Shiraz Electronic Industries

Abstract- In this paper we try to investigate theoretically the effect of chromium concentration on efficiency of Nd,Cr:GSGG laser. For this purpose we use current models for drawing luminescence decay of chromium and obtaining lifetime of chromium in present of interaction with other ions. Thus we calculate rate of nonradiative energy transfer between ions, then we calculate the number of excited acceptor ions and efficiency of energy transfer from donors to acceptors.

Keywords: Solid state laser, garnets,GSGG, efficiency,neodymium.

## ۱- مقدمه

مواد لیزری دارای دو آلایند برای افزایش بازده و بهبود عملکرد لیزر استفاده می شوند، به عنوان مثال Cr,Nd:GSGG. که دو یون آلایند  $Cr^{+3}$  و  $Nd^{+3}$  به ماده گارنت میزبان GSGG اضافه شده اند. یون  $Cr^{+3}$  (یون بخشنده D)، به علت دارا بودن نوار جذب پهن، مسئول جذب انرژی از لامپ درخشی و انتقال انرژی جذب شده بصورت غیر تابشی به یون های  $Nd^{+3}$  (یون پذیرنده A)، که مسئول عمل لیزینگ هستند، می باشد. از طرف دیگر محاسبه میزان بازدهی بلور لیزری از روش های تئوری برای پیش بینی نسبی میزان کارایی آن در اهداف عملی خاص، با توجه به قیمت بالای این بلورها، بسیار مفید خواهد بود. ازینرو در این مقاله سعی شده است گامی در جهت محاسبه بازدهی لیزرهای حالت جامد دارای دو آلایند برداشته شود. برای محاسبه بازدهی بلور لیزر، لازم است ابتدا نرخ انتقال انرژی و فرایند انتقال انرژی میان آلاینده ها و طبیعت برهمکنش میان یون ها بررسی شود. در فرایند انتقال انرژی غیر تابشی، یک یون بوسیله یک منبع خارجی برانگیخته می شود، مقداری تابش می کند و مقداری دیگر از انرژی آن به یون های پذیرنده منتقل می شود [۲۱].

## ۲- مدل سازی نرخ انتقال انرژی

از سال ۱۹۲۰ گروه های تحقیقاتی مختلفی برای مدل سازی فرایند انتقال انرژی غیر تابشی در مواد مختلف، مانند جامدات و مایعات، تلاش کردند [۳-۷]. مدل ها بر اساس کار پیشگام Foster-Dexter (FD) و توجه به سایر فرایندها گسترش یافته است. بیشتر این مدل ها می توانند تنها یک برهمکنش میان آلاینده ها را در انتقال انرژی در نظر بگیرند. مدل سازی فرایند انتقال غیر تابشی انرژی بین یون های آلاینده، در داخل ماتریس بلورینی فرض می شود که آلاینده ها به صورت تصادفی در شبکه بلوری جایگزین می گردند (دو نوع یون آلاینده در شبکه در نظر گرفته می شود D و A). به علت انتقال انرژی، برانگیختگی از یون D به یون A منتقل می شود. برای بدست آوردن انتقال انرژی، وجود یک برهمکنش میکروسکوپی میان یون های آلاینده فرض می شود و بین تک تک یون های D و A تابش فلورسان باید محاسبه گردد. و پس از میانگین گیری بر روی این تابش ها می توان آن را با داده های تجربی مقایسه کرد [۷]. این کار معمولا

بوسیله شبیه سازی و حل معادلات اصلی انتقال انرژی انجام می شود. پس از اعمال یک تحریک پالسی بر نمونه کریستال، احتمال برانگیختگی برای i امین D، با رابطه زیر داده می شود.

$$\frac{dP_{Di}^k(t)}{dt} = - \left[ \frac{1}{\tau_{D0}} + \sum_{j=1}^{N_A} W_{Di}^{Aj} + \sum_{m=1, m \neq i}^{N_D} W_{Di}^{Dm} \right] P_{Di}^k(t) + \sum_{m=1, m \neq i}^{N_D} W_{Dm}^{Di} P_{Dm}^k(t) + \sum_{j=1}^{N_A} W_{Aj}^{Di} P_{Aj}^k(t) \quad (1)$$

$\tau_{A0}$  و  $\tau_{D0}$  نیمه عمر یون های D و A است در زمانی که هیچ انتقال انرژی وجود ندارد.  $N_D$  و  $N_A$  تعداد کل یون های آلاینده موجود در نمونه بلور است.  $W_{Di}^{Aj}$  نرخ انتقال انرژی غیر تابشی از  $D_i$  به  $A_j$  است و این فرایند به عنوان انتقال مستقیم انرژی از یون D به A شناخته می شود.  $W_{Di}^{Dm}$  نرخ انتقال انرژی غیر تابشی از  $D_i$  به  $D_m$  و این فرایند به عنوان نرخ انتقال انرژی در میان یون های بخشنده (D) مشهور است و  $W_{Aj}^{Di}$  نرخ انتقال انرژی غیر تابشی از  $A_j$  به  $D_i$  است و فرایند بازگشت انرژی از یون A به D را مشخص می کند.  $W_{Aj}^{Al}$  نرخ انتقال انرژی غیر تابشی از  $A_j$  به  $A_l$  است و به عنوان فرایند انتقال انرژی میان یون های پذیرنده (A) شناخته می شود [۷].

در جمله برهمکنش میکروسکوپی، نرخ انتقال انرژی غیر تابشی از i امین یون نوع D به j امین یون نوع A،  $W_{Di}^{Aj}$  با رابطه (۲) داده می شود [۸].

$$W_{Di}^{Aj} = \frac{1}{\tau_{D0}} \exp \left[ \frac{2R_{0i}^{DA}}{L^{DA}} \left( 1 - \frac{R_{ij}}{R_{0i}^{DA}} \right) \right] + \frac{1}{\tau_{D0}} \left[ \left( \frac{R_{06}^{DA}}{R_{ij}} \right)^6 + \left( \frac{R_{08}^{DA}}{R_{ij}} \right)^8 + \left( \frac{R_{010}^{DA}}{R_{ij}} \right)^{10} \right] \quad (2)$$

اولین جمله سمت راست رابطه بالا به انتقال انرژی ناشی از برهمکنش مبادله الکترونیک مربوط می شود در صورتیکه جمله دوم به انتقال انرژی ناشی از برهمکنش چند قطبی الکترونیک تا سقف چهار قطبی- چهار قطبی می باشد. پارامترهای  $R_{0i}^{DA}$  فاصله بحرانی انتقال  $L^{DA}$  شعاع بوهر موثر،  $R_{0S}^{DA}$  فاصله بحرانی انتقال برهمکنش چند قطبی است ( $S=6,8,10$ ) (دو قطبی- دو قطبی، دو قطبی- چهار قطبی، چهار قطبی- چهار قطبی) و  $R_{ij}$  فاصله بین i امین D با j امین A و  $\tau_{D0}$  نیمه عمر D، وقتی که انتقال انرژی وجود ندارد، می باشد.

$n_A$  غلظت  $A$  (در اینجا نئودیموم) و  $C_{DA}(D - A)$  ثابتی است که نشان دهنده احتمال برهمکنش یون  $D$  و یون  $A$  در فاصله  $1$  سانتیمتری از یکدیگر است و  $\bar{W}$  نرخ واهلش انتقالی محدود است [۱۱].

$$\bar{W} = \frac{1}{\tau_{meas}} - \frac{1}{\tau_{D0}} \quad (A)$$

$\tau_{meas}$ ، طول عمر اندازه‌گیری شده یون  $D$  از نمودار شدت لومینسان است و  $\tau_{D0}$ ، طول عمر یون  $D$  در غیاب برهمکنش با دیگر یون‌ها می‌باشد.

بنابراین با رسم نمودار تابش لومینسان با استفاده از رابطه (۴) و (۵) می‌توان  $\tau_{meas}$  را بدست آورد و با مشخص بودن  $\tau_{D0}$  می‌توان مقدار  $\bar{W}$  را تعیین کرد. با حل معادله (۱) و با قرار دادن شرایط اولیه  $N_D = N_D(0)$ ،  $N_A = N_A(0)$  در  $t = 0$  تحول زمانی جمعیت یون‌های پذیرنده انرژی بدست می‌آید [۱۰].

$$\text{اگر } \frac{1}{\tau_A} - \frac{1}{\tau_D} - w < 0$$

$$N_A(t) = N_A(0) \exp\left[-\frac{t}{\tau_A}\right] + N_D(0) \exp\left[-\frac{t}{\tau_A}\right] \times \left\{ \frac{\sqrt{\pi} \gamma \exp\left(-\frac{\gamma^2}{4B^2}\right)}{2B} \left(1 - \frac{W}{B^2}\right) \left\{ \phi\left(B\sqrt{t} + \frac{\gamma}{2B}\right) - \phi\left(\frac{\gamma}{2B}\right) \right\} + \left(\frac{W}{B^2}\right) [1 - \exp(-B^2 t - \gamma\sqrt{t})] \right\} \quad (9)$$

$$B = \left(\frac{1}{\tau_A} - \frac{1}{\tau_D} + w\right)^{1/2}$$

رابطه (۹) را می‌توان به شکل کلی زیر نوشت.

$$N_A(t) = N_{0A}(t) + \Delta N_A(t) \quad (11)$$

$$\phi(x) = \frac{2}{\sqrt{\pi}} \int_0^x \exp(-z^2) dz$$

بازده کوانتومی حساسگر، به عنوان نسبت تعداد کوانتاهای تابش شده توسط یون‌های پذیرنده انرژی که انرژی برانگیختگی را از یون‌های بخشنده انرژی دریافت کرده‌اند، بر تعداد کوانتاهای جذب شده توسط یون‌های بخشنده انرژی تعریف می‌شود. مقدار بازده کوانتومی توسط رابطه زیر محاسبه می‌گردد [۱۰].

$$\eta = \frac{\int \Delta N_A(t) dt}{\tau_A N_D(0)} \quad (12)$$

برای مورد خاصی که مورد نظر ماست می‌توان رابطه را به شکل زیر نوشت.

## ۲-۱- مدل مورد استفاده در بدست آوردن نمودار تابش لومینسان یون دهنده انرژی

این مدلسازی بدون در نظر گرفتن بازگشت انرژی از  $A$  ها به  $D$  ها و مهاجرت انرژی میان  $A$  ها انجام شده است. اگر  $P(t)$  تابع انتقال انرژی میان  $D$  ها باشد، شدت تابش لومینسان  $D$  چنین خواهد بود [۹].

$$\phi(t)_{lum} = \phi(0)_{lum} \exp\left[-\frac{t}{\tau_{D0}} - P(t)\right] \quad (3)$$

تابع انتقال انرژی، کانالی برای به حالت پایه برگشتن یون‌های  $D$  با توجه به اتلاف‌های غیر تابشی در زمان‌های پس از تحریک پمپ را می‌دهد. برای زمان‌های بالاتر از چند میکروثانیه تابع انتقال انرژی از روابط زیر بدست می‌آید.

$$P(t) = \frac{4\pi}{3} \frac{C_A}{(R_{0S}^{DA})^3} \Gamma\left(1 - \frac{3}{S}\right) \left(\frac{t}{\tau_{D0}}\right)^{0.5} \left(\frac{1+10.87y+15.5y^2}{1+8.743y}\right)^{\frac{3}{4}} \quad (4)$$

$$y = \frac{1}{2} \left(\frac{4}{3} \pi C_D\right)^{\frac{4}{3}} \left(\frac{(R_{0D}^{DD})^6}{\tau_{D0}}\right) \left(\frac{(R_{0D}^{DA})^6}{\tau_{D0}}\right)^{\frac{1}{3}} t^{2/3} \quad (5)$$

$R_{0S}^{DA}$  فاصله بحرانی انتقال با  $S = 6, 8, 10$ ،  $\Gamma$  تابع گاما،  $C_D$  غلظت  $D$  و  $y$  تنها برای حالت  $S = 6$  (برهمکنش دو قطبی - دو قطبی) نوشته شده است.

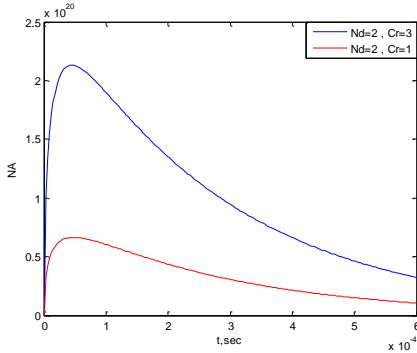
## ۲-۲- بدست آوردن نرخ انتقال انرژی از روی نمودار فرو افت لومینسان $D$ و محاسبه جمعیت وارون

در اینکار ما از تابع انتقال انرژی (۴) برای بدست آوردن نمودار شدت تابش لومینسان  $D$  استفاده می‌کنیم. زمانی که در آن نمودار شدت تابش به  $\frac{1}{e}$  مقدار اولیه خود می‌رسد، طول عمر تابش لومینسان است [۱۲]. بنابراین می‌توانیم طول عمر تابش لومینسان اتم‌های  $D$  را در غلظت‌های متفاوت  $D$  و  $A$  و یون‌های مختلف با میزبان‌های متفاوت بدست آوریم. با تحلیل نمودار تابش لومینسان  $D$  (در این بررسی  $Cr^{+3}$ ) که در منابع [۱۰] و [۱۱] و برای  $Cr, Nd:GSGG$  انجام شده است نشان می‌دهد که اگر غلظت  $Cr^{+3}$  بیش از  $10^{20} \text{ Cm}^{-3}$  باشد، منحنی اضمحلال توسط رابطه زیر توصیف می‌شود

$$I(t) = I_0 \exp\left[-\left(\frac{t}{\tau_{D0}} + \gamma\sqrt{t} + \bar{W}t\right)\right] \quad (6)$$

$I_0$  شدت اولیه نرمال شده شدت لومینسان است

$$\gamma = \frac{4}{3} \pi^{\frac{3}{2}} n_A [C_{DA}(D - A)]^{\frac{1}{2}} \quad (7)$$



شکل (۲): نمودار تعداد اتم های برانگیخته acceptor بر حسب زمان برای Cr,Nd:GSGG با استفاده از رابطه (۹) و با غلظت های مشخص

با محاسبه بازدهی انتقال انرژی از D به A توسط رابطه (۱۳) برای این دو غلظت مذکور، برای مورد الف) ۰.۸۳۹ و برای مورد ب) ۰.۸۷۳ بدست می آید.

### ۳- نتیجه گیری

بنابراین با استفاده از این روش می توانیم جمعیت اتم های پذیرنده انرژی (A) در تراز برانگیخته که انرژی خود را از اتم های بخشنده انرژی (D) دریافت کرده اند را بر حسب زمان برای غلظت های مختلف بدست آوریم و با استفاده از رابطه (۱۳) بازدهی انتقال انرژی از یون D به A را محاسبه کرد. حتی در صورت مشخص بودن پارامترهای مورد نیاز در روابط (۳) و (۴) و (۵) و (۹)، می توان این مقادیر را برای انواع لیزرهای حالت جامد بدست آورد. لازم به ذکر است که اتم های پذیرنده انرژی مسئول عمل لیزینگ هستند. با داشتن جمعیت اتم های پذیرنده در تراز برانگیخته، می توان برآوردی از بهره لیزر را بدست آورد.

### مراجع

- [1] Koechner, Walter, *Solid-State Laser Engineering*, Springer, 2006.
- [2] Silvia-Moreno, et. al., Direct energy transfer and migration among Cr ions in the Cr,Nd:GSGG luminescent system, *Optical Material*, Vol.16: 221-226, 2001.
- [3] Foster, T., *Ann. Phys.* Vol. 2, P. 55,1948.
- [4] Dexter, D. L., *J. Chem. Phys.* Vol. 21, P. 836, 1953.
- [5] Yokota, M., Tanimoto, O., *J. Phys. Soc. Jpn.*, Vol. 22, P. 779, 1967.
- [6] Burshtein, A. I., *Sov. Phys. JETP*, Vol. 31, P. 882, 1972.
- [7] Vega-Duran, J. T., et. Al., Exact solution to the general non-radiative energy transfer master equation in crystalline materials, *J. Luminescence*, Vol. 91, P.233-241, 2000.
- [8] Barbosa-Garcia, O., et. al., *J. Opt. Soc. Am. B*, Vol. 14, P. 2731, 1997.
- [9] Voron'ko, Yu. K., et. al., *Sov. Phys. JETP*. Vol. 44, P. 251, 1976.
- [10] Ostroumov, V. G., Privis, Yu. S., Smirnov, V. A., Shcherbakov, I. A., *Sensitizing of Nd<sup>+3</sup> luminescence by Cr<sup>+3</sup> in gallium garnets*, *Solid-State Laser Materials*, Vol. 3, No. 1,1986.

$$\eta = \frac{1}{\tau_A N_D(0)} \int N_D(0) \exp\left[-\frac{t}{\tau_A}\right] \times \left\{ \frac{\sqrt{\pi} \gamma \exp\left(\frac{\gamma^2}{4B^2}\right)}{2B} \left(1 - \frac{W}{B^2}\right) \left\{ \phi\left(B\sqrt{t} + \frac{\gamma}{2B}\right) - \phi\left(\frac{\gamma}{2B}\right) \right\} + \left(\frac{W}{B^2}\right) [1 - \exp(-B^2 t - \gamma\sqrt{t})] \right\} dt \quad (13)$$

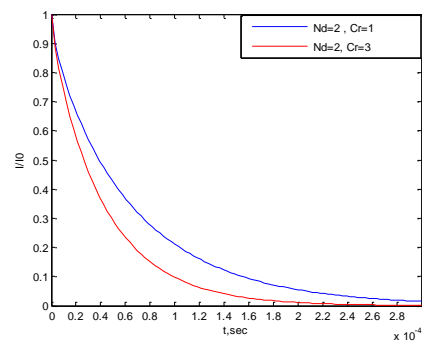
### ۳-۲- نمونه محاسبات

ابتدا برای اطمینان از درستی کار، مقادیر  $\bar{W}$  را برای چند غلظت مختلف که در مرجع [۱۰ و ۱۱] آورده شده است محاسبه کرده و با مقادیر ذکر شده در این مراجع مقایسه می نماییم. بنابراین نمودار تابش لومینسان را با استفاده از رابطه (۳) و (۴) برای Cr,Nd:GSGG و غلظت های مختلف از Nd و Cr که در زیر ذکر شده را رسم نموده و زمانی را که در آن نمودار به  $\frac{1}{e}$  مقدار اولیه خود می رسد را به عنوان طول عمر لومینسان در نظر می گیریم.

الف)  $(Cr = 1, Nd = 2) \times 10^{20} \text{ cm}^{-3}$

ب)  $(Cr = 3, Nd = 2) \times 10^{20} \text{ cm}^{-3}$

که این مقادیر برای مورد الف) ۶۷ میکروثانیه ب) ۵۱ میکروثانیه بدست می آید. با داشتن مقادیر طول عمر لومینسان کروم در حالتی که برهمکنشی با سایر یون ها ندارد (۱۲۰ میکروثانیه) و استفاده از رابطه (۸) مقادیر  $\bar{W}$  به شرح زیر بدست می آید. الف)  $6.6 \times 10^3 \text{ s}^{-1}$  که مقدار آن در مقاله مورد نظر  $4.8 \times 10^3 \text{ s}^{-1}$  ذکر شده است. ب)  $1.1 \times 10^4 \text{ s}^{-1}$  که مقدار آن در مقاله  $1.3 \times 10^4 \text{ s}^{-1}$  ذکر گردیده است. نسبت مقادیر بدست آمده توسط ما و مقادیری که در مقالات آمده به شرح زیر می باشد. الف) 1.37 ب) 0.85



شکل (۱): نمودار فرو افت لومینسان کروم برای Cr,Nd:GSGG با غلظت های داده شده با استفاده از روابط (۳) و (۴).